

Компьютерная томография коронарных артерий.

Методика основана на внутривенном введении йодсодержащего контрастного препарата с последующим отслеживанием его прохождения по коронарному руслу при одновременной записи ЭКГ и последующей математической обработкой полученных изображений.

Построение трехмерной реконструкции

Cardiac 10 Phases

Cardiac Viewer M/53Y

C

CT
00
.00

AF



5 cm



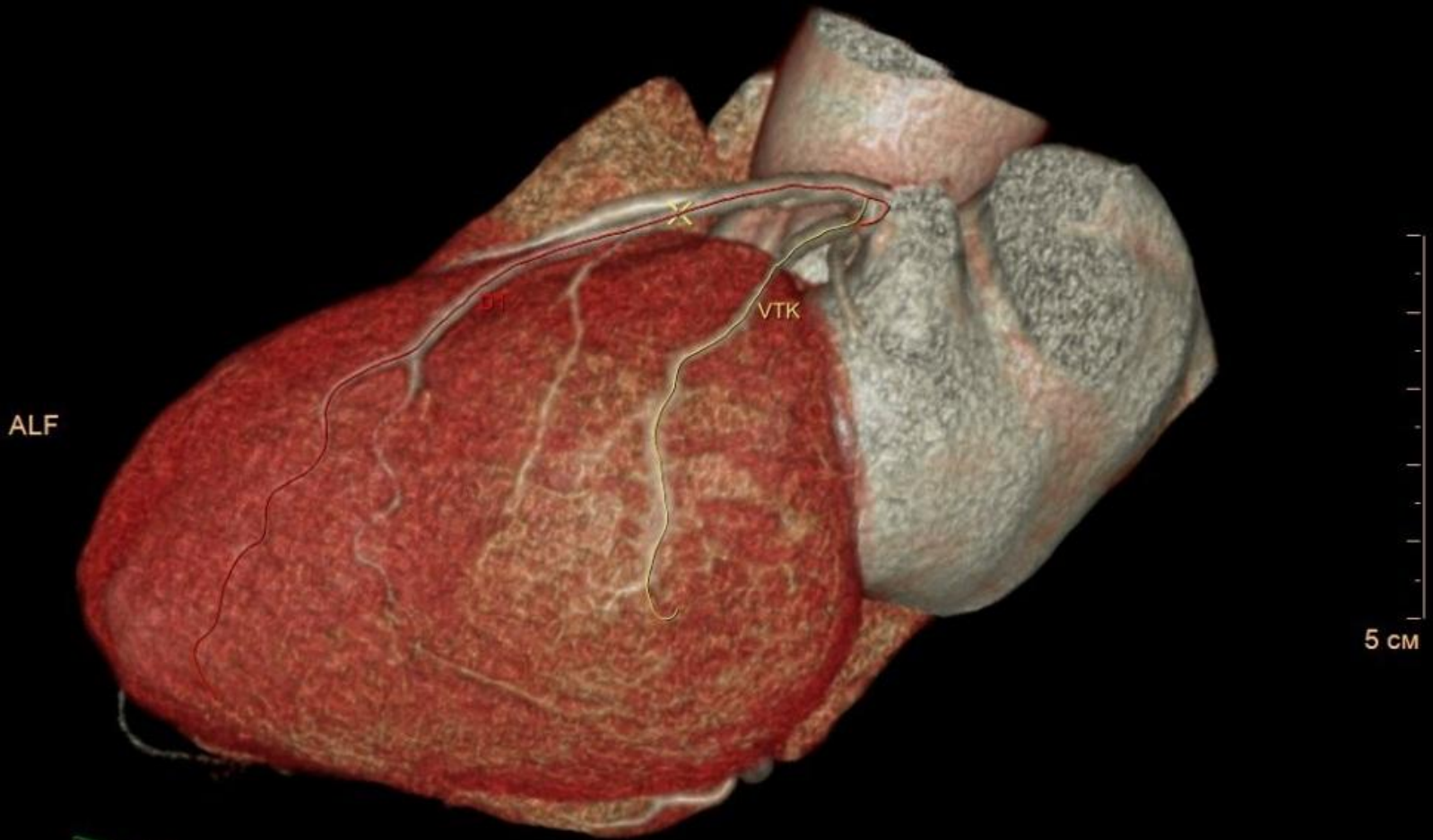
FP

Cardiac 10 Phases

Cardiac Viewer M/53Y

C

CT
.UU
.00



ALF

VTK

5 CM



F

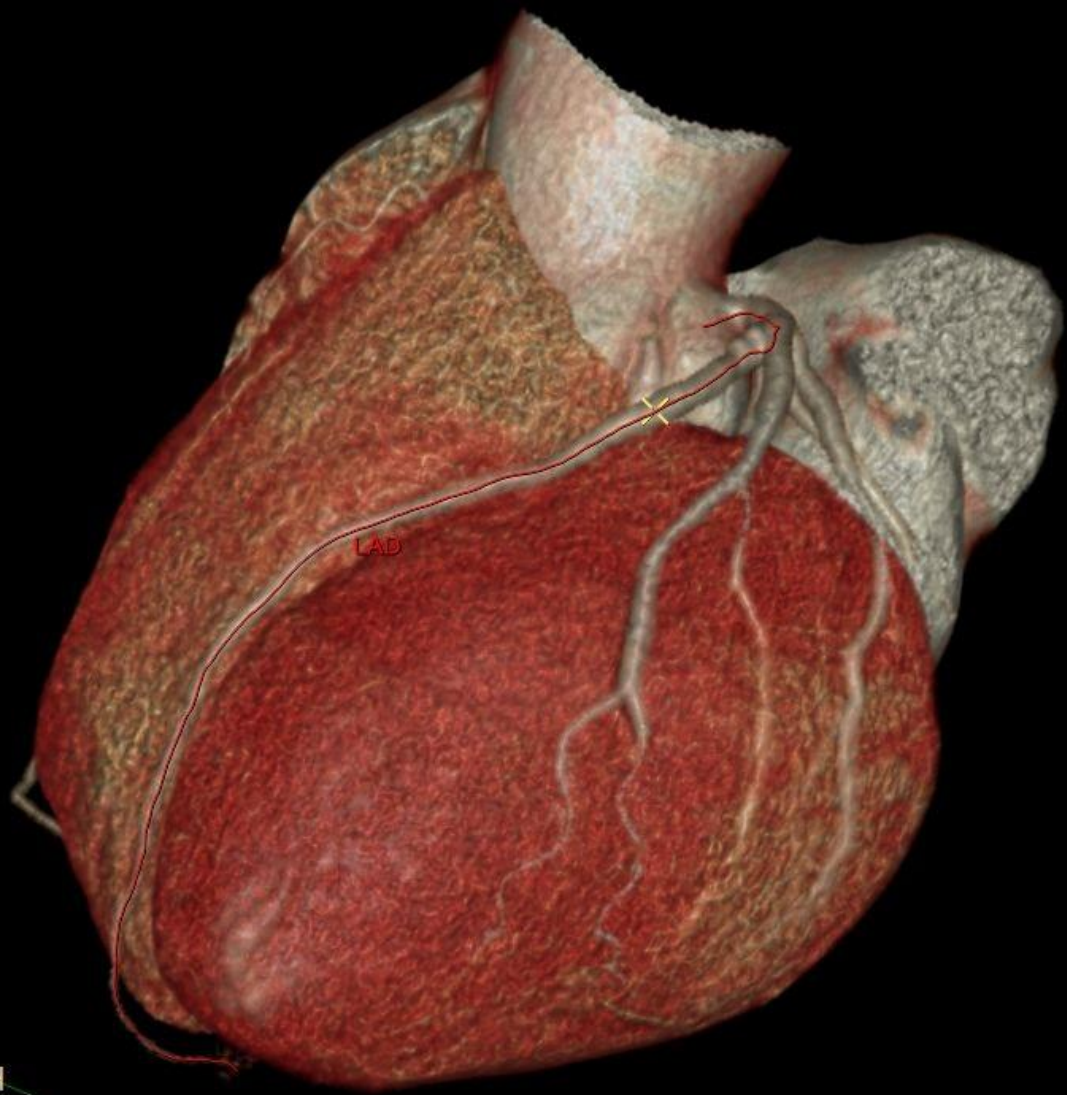
AFR

LAD

5 CM

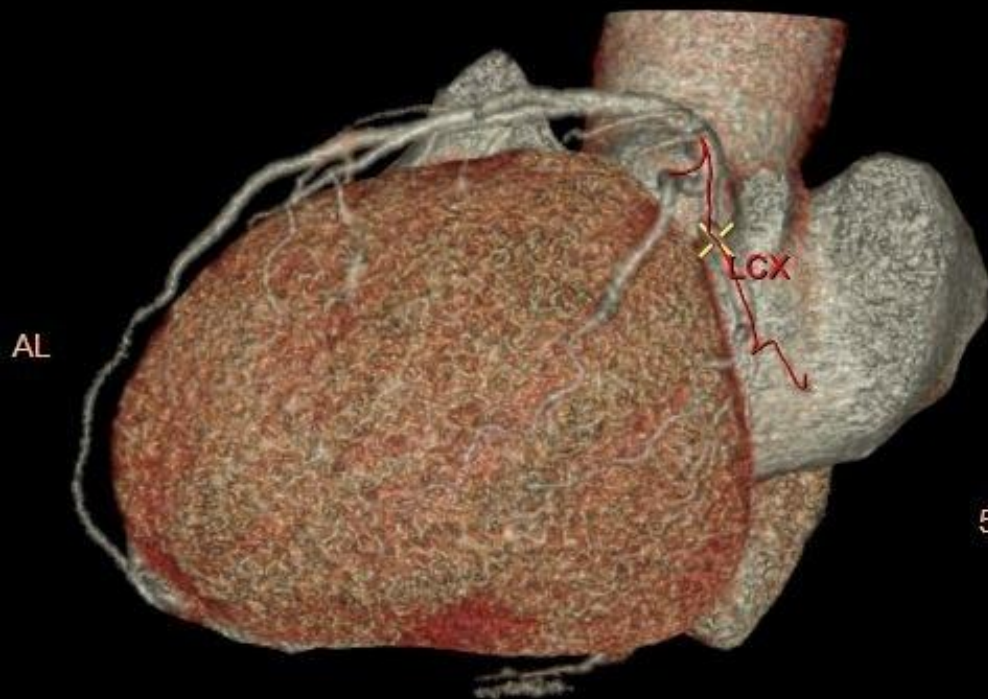


F



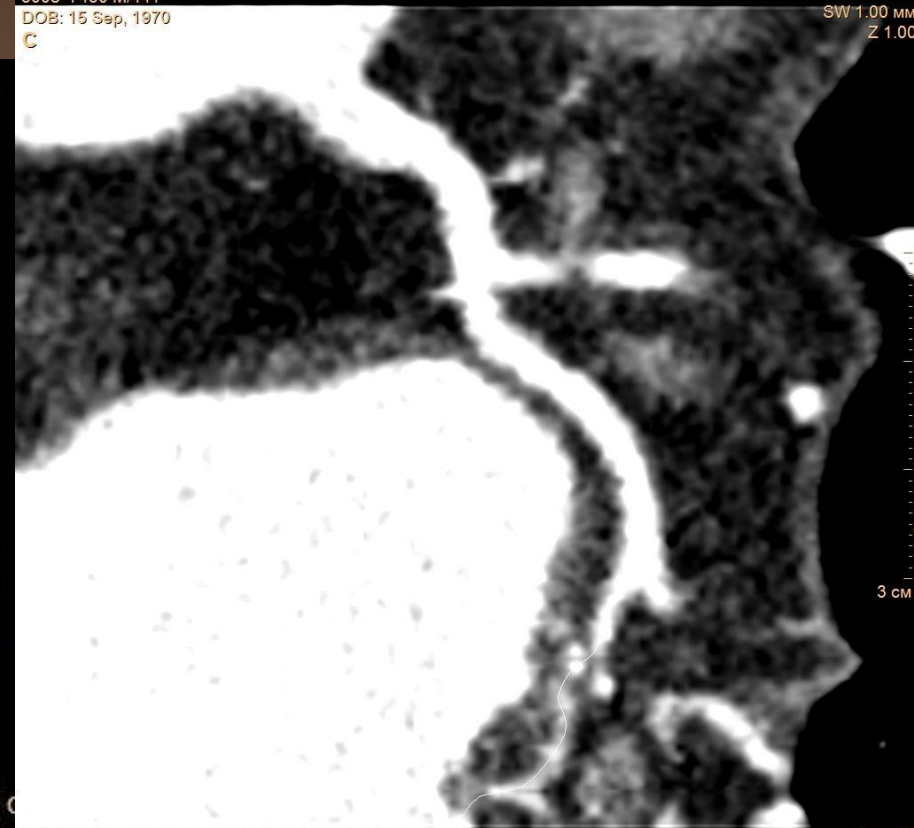
Ишемическая болезнь сердца

5008 7430 M/44Y
DOB: 15 Sep, 1970
C



F

5008 7430 M/44Y
DOB: 15 Sep, 1970
C

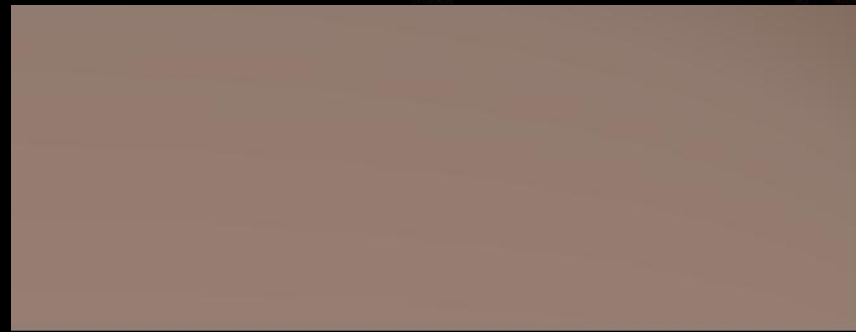


SW 1.00 mm
Z 1.00

3 cm

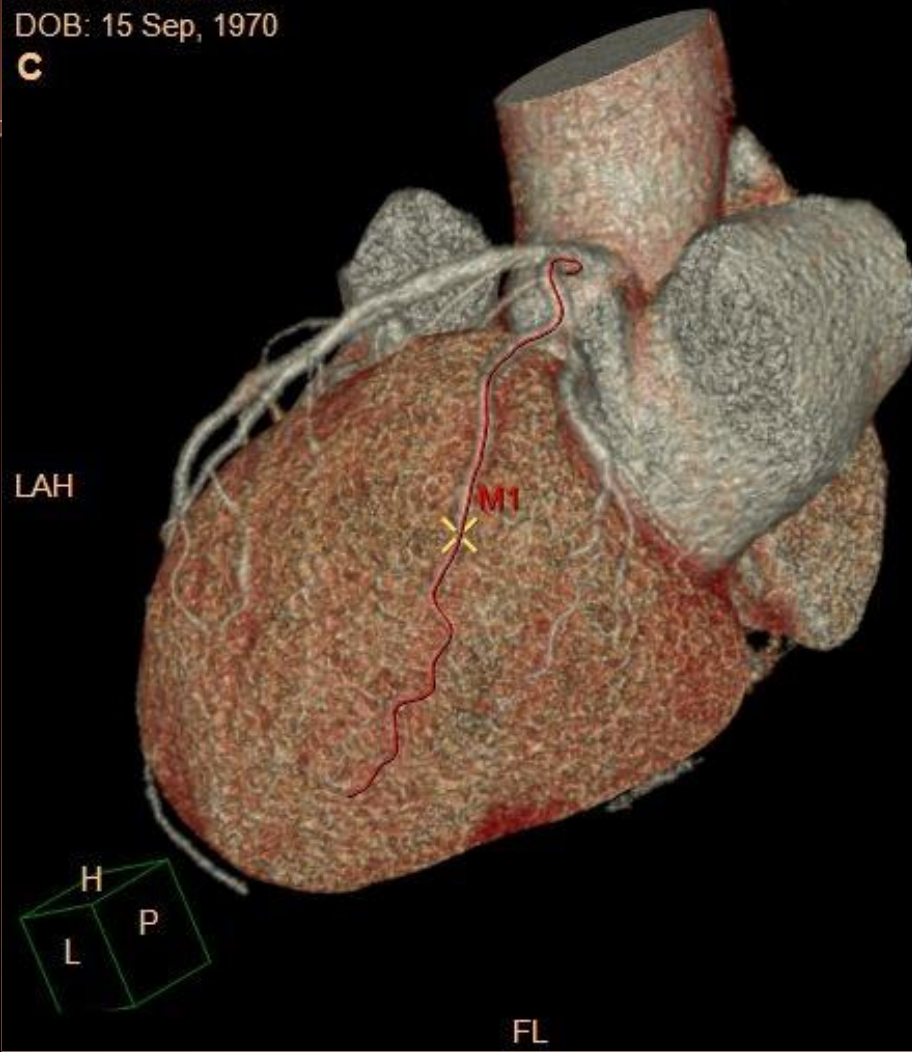
LCX

C 60
W 400

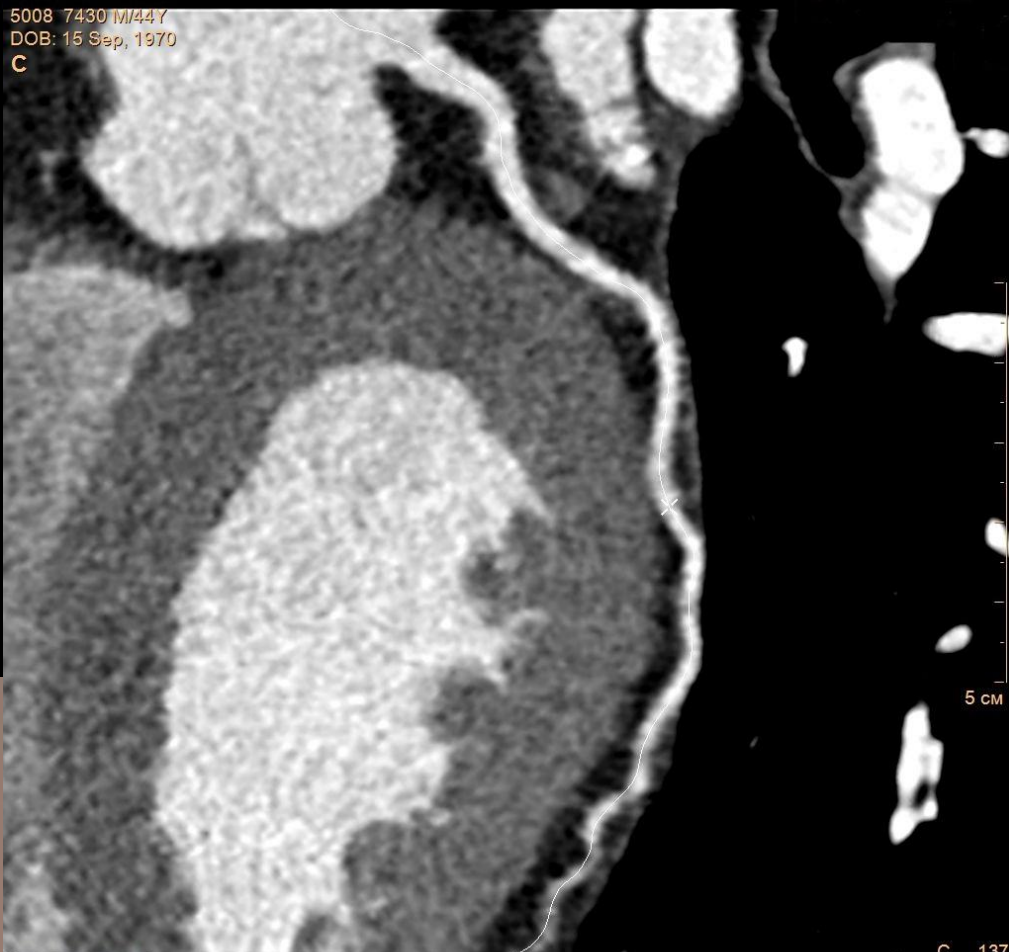


5008 7430 M/44Y
DOB: 15 Sep, 1970

C



5008 7430 M/44Y
DOB: 15 Sep, 1970
C



C 137
W 57

M1

5008 7430 M/44Y
DOB: 15 Sep, 1970



A



FL

5008 7430 M/44Y
DOB: 15 Sep, 1970

C

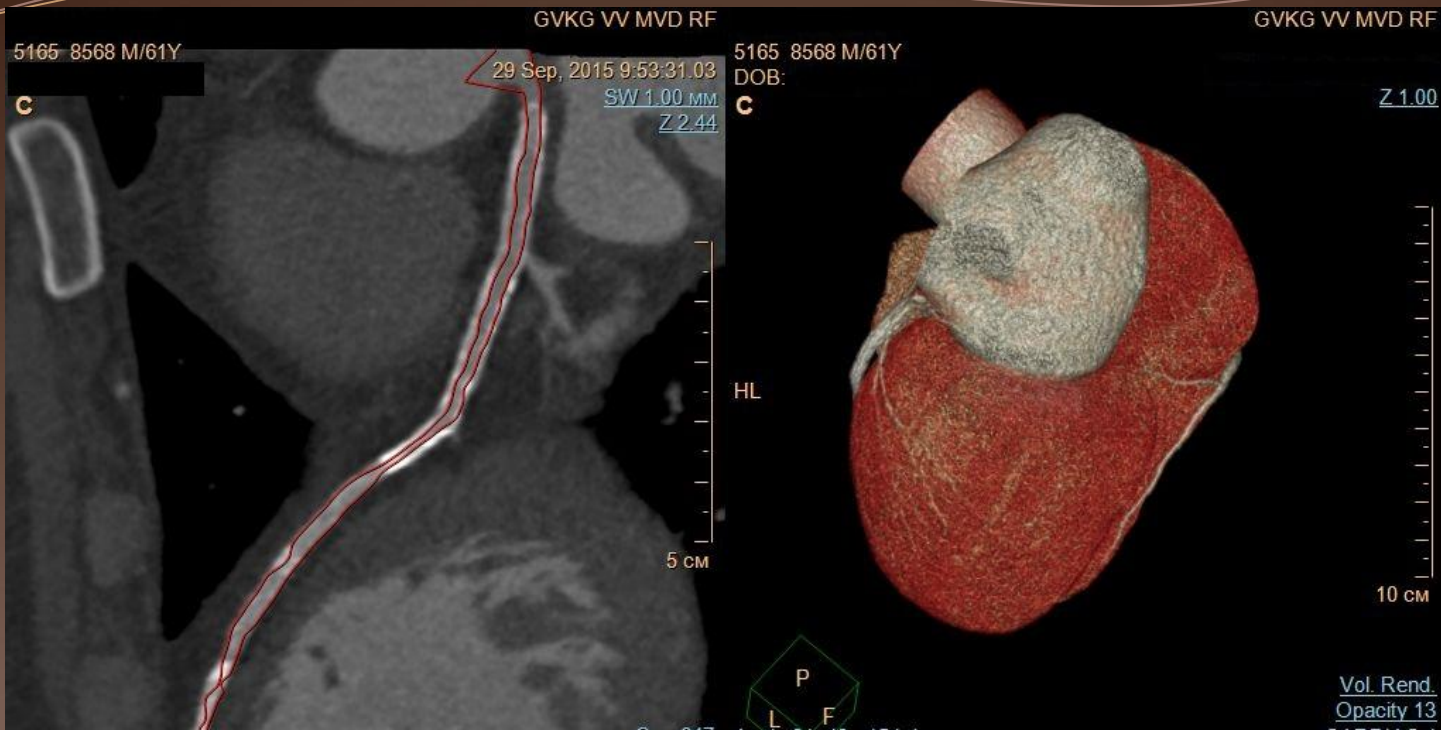


5 CM

LAD

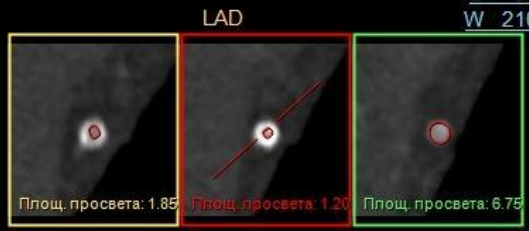
C* 60
W 400

Рестеноз после стентирования ПМЖВ



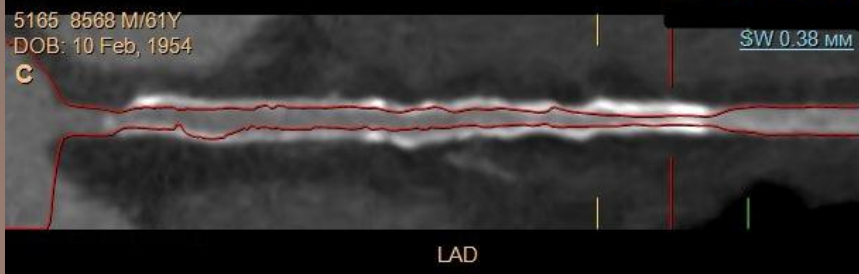
C 647 W 2108 Angle 31, 43, -154 deg
 LПК 160.88 Каудальный 11.78 LFA

Vol. Rend.
 Opacity 13
 CARDIAC 1
 Сердце



Площ. просвета: 1.85 Площ. просвета: 1.20 Площ. просвета: 6.75

	Измерения - LAD		
	Контроль	Очаг	Разница
Площадь	4.2 мм ²	1.2 мм ²	71 %
Текущий диаметр	2.0 мм	1.1 мм	45 %
Эфф. Диам.	2.2 мм	1.2 мм	45 %
Мин. диаметр:		1.1 мм	50 %
Эксцентричность		0.21	
Контрольное расстояние	17.1 мм		
Расположение	н/д	75.8 мм	н/д



C

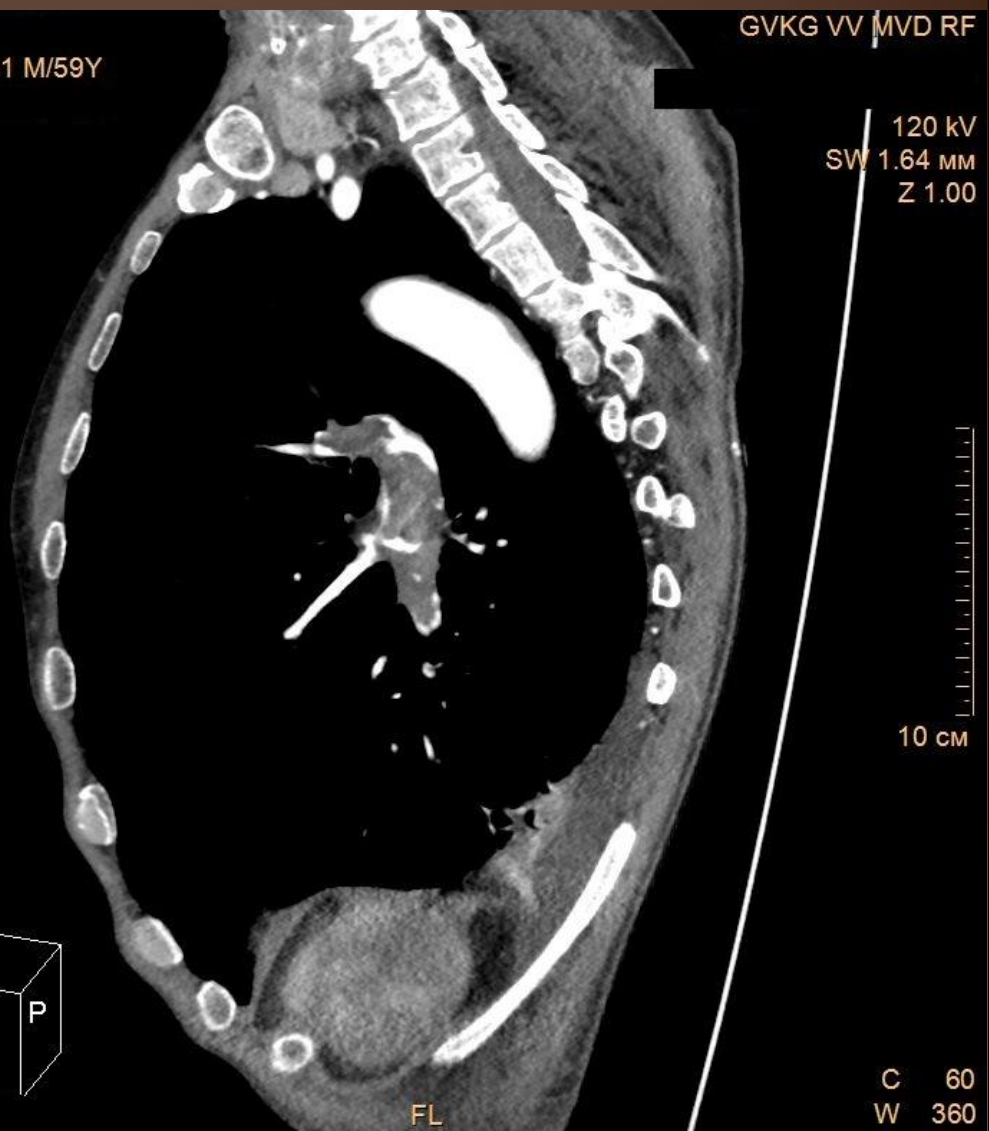
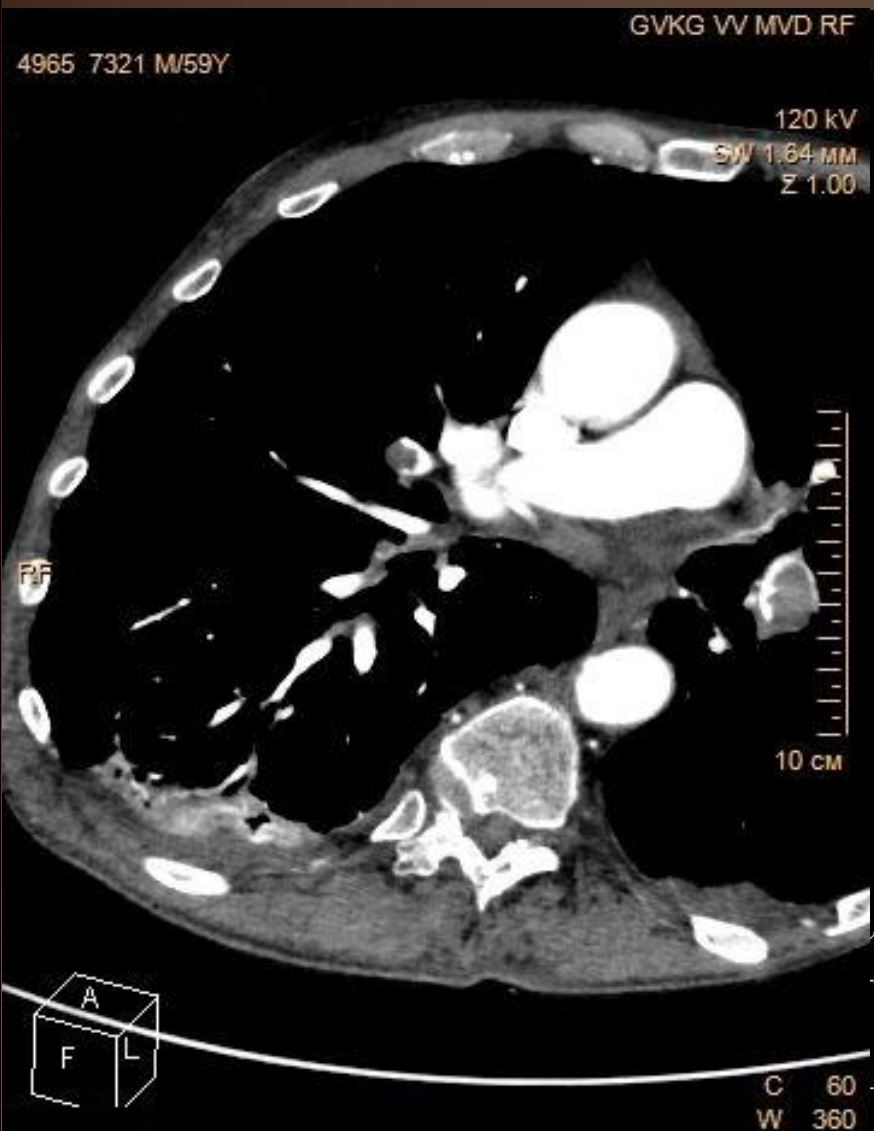


5 cm

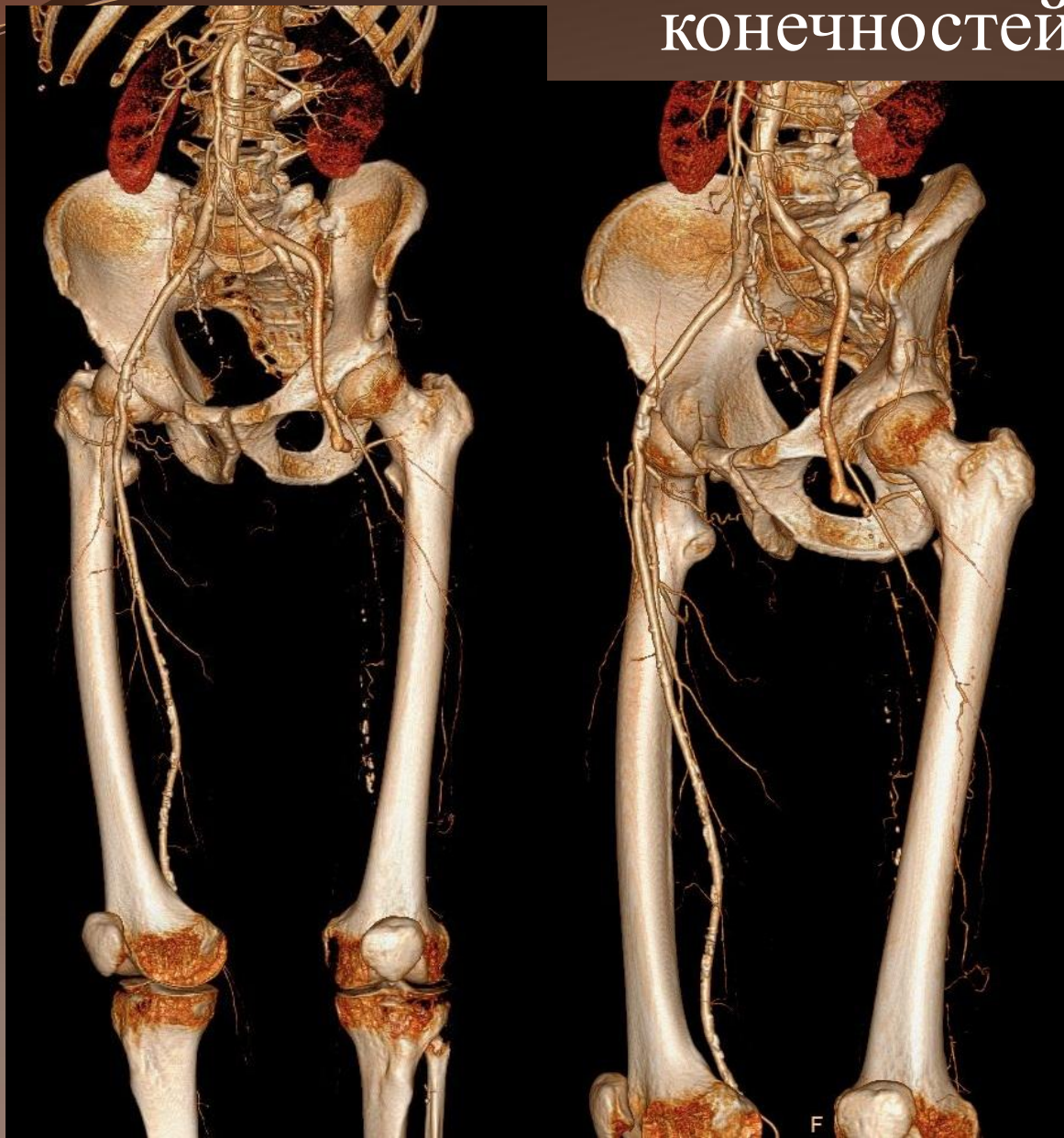
LAD

C 647
W 2108

МСКТ-ангиография легочных артерий при ТЭЛА



МСКТ-ангиография сосудов нижних конечностей



Распространенный атеросклероз и протяженная окклюзия левой бедренной артерии



МСКТ-флебография. Методика основана на введении контрастного препарата непосредственно в вены нижних конечностей

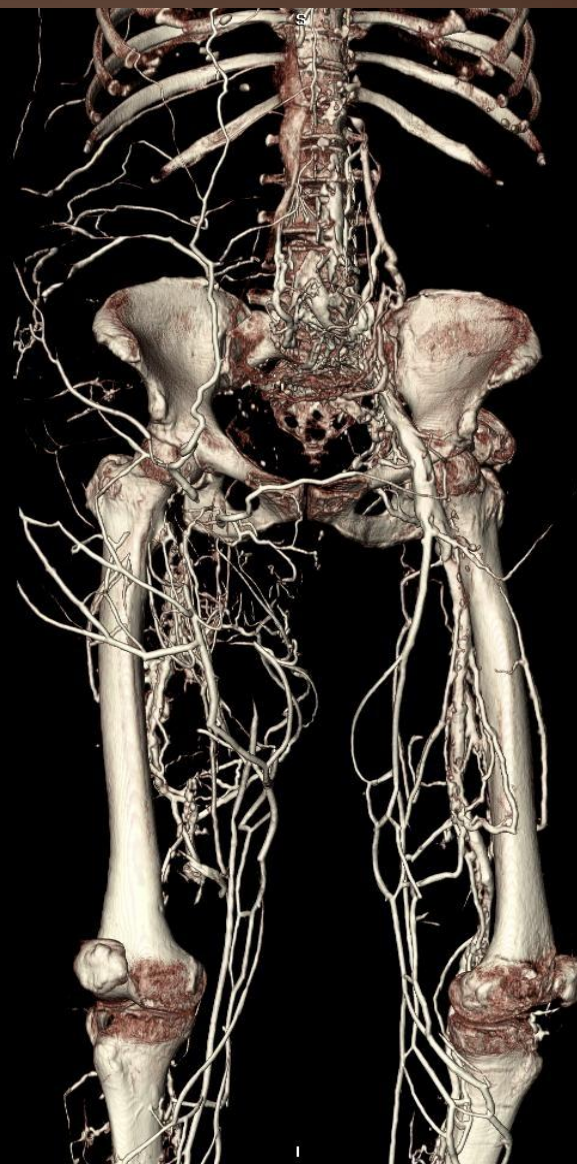
88 5600
Age:64 years
F
02 Aug 2011
13:16:33



kVP:135
mA:40
msec:400
mAs:16
Thk:2 mm
Aquilion 16

88 5600
Age:64 years
F
02 Aug 2011
13:16:33

R



CVKG VV MVD RF
CT
CTA 2.0 CTA CE

W/L:325/270